

## بالанс دینامیکی کامل نیرویی یک روبات موازی کروی جدید با ساختار S-3(RPSP) با افزودن یک مکانیزم چندمیله‌ای\*

(یادداشت پژوهشی)

مهدیه حیدری<sup>(۱)</sup>جواد انفرادی<sup>(۲)</sup>

**چکیده** در این مقاله بررسی شرایط بالанс دینامیکی نیرویی یک روبات موازی کروی جدید با استفاده از روش افزودن مکانیزم اضافه انجام می‌شود. در روش پیشنهادی از یک مکانیزم اضافه و اتصال آن به هر شاخه روبات به‌گونه‌ای استفاده می‌شود که باعث حذف شتاب‌های کوربولیس و درنتیجه حذف نیروهای لرزشی ناشی از رفت‌ویرگشت جرم لغزنده در معادلات بالанс دینامیکی نیرویی روبات شود. سپس با افزودن سه وزنه به هر شاخه روبات، بالанс نیرویی روبات انجام می‌شود. دریابان، با تحلیل دینامیکی روبات با استفاده از نرم‌افزار آدامز، نشان داده می‌شود که با استفاده از روش ارائه شده، نیروهای لرزشی منتقل شده به پایه روبات به طور میانگین در راستای  $x$  ۹۸٪، در راستای  $y$  ۷۹٪ و در راستای  $z$  ۹۹.۴٪ کاهش خواهند یافت.

**واژه‌های کلیدی** بالанс دینامیکی نیرویی؛ روبات موازی کروی؛ نیروی لرزشی؛ جرم افزوده.

## Complete Dynamic Shaking Force Balancing of a 3(RPSP)-S Spherical Parallel Robot Using Extra Linkage

M. Heydari      J. Enferadi

**Abstract** In this paper, an approach for reducing the shaking force of a spherical parallel robot using extra mechanisms is proposed. The proposed method vanishes the Coriolis acceleration terms due to moving the slider links on each branch from force balancing equation. For this purpose, two links are added to each branch of the manipulator as an extra linkage mechanism. Next, three weights are added to each branch of the robot for reducing the applied shaking forces on the base platform. Finally, the dynamic numerical simulations is performed using ADAMS software. The results show a reduction in the applied shaking forces on the base as much as 98%, 79% and 99.4% along the X, Y and Z axes, respectively.

**Key Words** Shaking force; Force balancing; Spherical parallel robot; Inverse kinematics.

\*تاریخ دریافت مقاله ۹۵/۸/۲۸ و تاریخ پذیرش آن ۹۶/۳/۲۷ می‌باشد.

(۱) کارشناس ارشد مهندسی مکانیک، دانشگاه آزاد اسلامی، واحد مشهد.

(۲) نویسنده مسئول: استادیار گروه مهندسی مکانیک، دانشگاه آزاد اسلامی، واحد مشهد. enferadi5637@mshdiau.ac.ir

## مقدمه

مکانیزم‌های موازی به عنوان مکانیزم‌هایی تعریف می‌شوند که صفحهٔ متحرک آنها توسط شاخه‌های سینماتیکی متعدد به پایهٔ ثابت متصل می‌شود و هر شاخه نیز می‌تواند به عنوان یک مکانیزم سری در نظر گرفته شود. روبات‌های موازی به وسیلهٔ مک‌کالیون و فم [1] پیشنهاد داده شد و هانت [2] مطالعات مقدماتی ترکیب‌بندی‌های روبات‌های موازی مختلف را انجام داد. در مقایسه با مکانیزم‌های سری مکانیزم‌های موازی اینرسی حرکتی کمتر، سفتی بالاتر، نسبت قدرت به وزن بالاتر و... دارند. از این رو مکانیزم‌های موازی برای کاربردهای روباتیکی پیشرفته با سرعت بالا بسیار مناسب هستند. نظیر سایر وسائل روباتیکی، آنها نیز نیروها و گشتاورهایی را به پایهٔ خود در حین این حرکت‌های سریع وارد می‌کنند و باعث خستگی، ارتعاش، صدا و خرابی در ساختارهای حمایتی مکانیزم می‌شوند.

در طول چند دههٔ گذشته روبات‌های موازی راه خود را به صنعت برای برنامه‌های کاربردی نظیر کارهای برداشت و گذاشت سریع، پیدا کرده‌اند. تقاضای مداوم برای افزایش سرعت عملیاتی این روبات‌ها، طراح را با مسائل مختلف به چالش می‌کشد؛ یکی از این مسائل ارتعاش شدید در پایهٔ روبات بهعلت نیروهای لرزشی و گشتاورهای لرزشی یعنی نیروها و گشتاورهای اینرسی اعمال شده توسط روبات به پایه می‌باشد که در عمل باعث آسیب‌هایی به سیستم‌های مکانیکی و سیستم کنترل روبات و همچنین ماشین‌آلات مجاور می‌شود.

بالанс مکانیزم‌ها یک موضوع تحقیقاتی بسیار مهم در چند دههٔ اخیر بوده است [3-8]. یک مکانیزم بالанс‌شده خصوصیات دینامیکی بهتری دارد و ارتعاشات کمتری در حین حرکت به پایهٔ روبات وارد می‌کند. از این رو کارهای مختلفی روی مطالعهٔ بالанс

دینامیکی روبات‌های موازی صفحه‌ای شده است؛ اما دربارهٔ بالانس نیرویی و گشتاوری روبات‌های موازی کروی کارهای قابل توجهی انجام نشده است و بالانس دینامیکی روبات‌های موازی فضایی چند درجه آزادی به دلیل پیچیده بودن مسئله، اصلاً مورد توجه محققان نبوده است.

برای از بین بردن نیروهای لرزشی تاکنوں روش‌هایی مانند: افزودن ساختارهای اضافه [9]، اضافه کردن اعضای الاستیک [10]، کنترل شتاب مرکز جرم کلی مکانیزم [3, 4] ارائه شده‌اند.

همچنین برای از بین بردن مومنتوم لرزشی نیز روش‌هایی مانند: استفاده از چرخش‌های معکوس [11]، اضافه کردن لینک‌های چهار عضوی [12]، به کارگیری مکانیزم افزونه که مسیرهای بهینه لینک‌های حرکتی را تولید می‌کند [13]، چرخش معین مجری نهایی [14] و بالانسینگ توسط اضافه کردن یک چرخ لنگر اینرسی چرخشی با یک سرعت زاویه‌ای معین [5, 15] ارائه شده‌اند.

با وجود این که بیش از یک قرن است که موضوع بالانس دینامیکی مکانیزم‌ها در حال بررسی است [16]، بالانس دینامیکی روبات‌ها و به ویژه بالانس روبات‌های موازی به تازگی آغاز شده است. چونگ و چو [17] بالانس نیروی لرزشی روبات سری پوما ۷۶۰ را در سال ۱۹۸۸ مورد مطالعه قرار دادند. آنها معادلات دینامیکی حرکت را براساس روش لاگرانژ به دست آورden و از طریق افزودن وزنه و یک مکانیزم ویژه روبات را بالانس کردند. در سال ۲۰۰۰ ریکارد و گسلین [12] بالانس دینامیکی روبات‌های موازی را برای اولین بار در یک راه حل کلی تر ارائه دادند. روش آنها بر این اساس بود که از مکانیزم‌های چهار لینکی که بالانس دینامیکی شده بودند برای ساختن هر کدام از پایه‌های روبات سه درجه آزادی صفحه‌ای استفاده کردند. ایشان از مکانیزم‌هایی استفاده کردند که طبق اندازه‌های سینماتیکی و شکل اولیهٔ خاص خود بالانس

робات وارد می شد. بروت و آرaklıلیان [22] برای بالانس یک مکانیزم چهار میله از مکانیزم دیگری که به طور دینامیکی بالانس است، استفاده کردند و درنهایت فقط با اضافه کردن چند جرم چرخشی معکوس، مکانیزم بدون اضافه کردن هیچ اینرسی چرخشی معکوسی، هم بالانس نیرویی و هم بالانس مومنتومی شده است. وو و گسلین [23] یک روبات سه درجه آزادی و یک روبات شش درجه آزادی را توسط اضافه کردن یک مکانیزم متوازی السطوح به پایه های روبات و اضافه کردن جرم و اینرسی چرخشی معکوس به این مکانیزم بالانس نیرویی و مومنتومی کردند.

الیسی و شیرین زاده [24] با استفاده از جرم های اضافه و متصل کردن دو عدد فنر به لینک های محرک، بالانس استاتیکی روبات موازی دو درجه آزادی صفحه ای  $5R$  را انجام دادند. آنها در مقاله دیگری [25] بالانس دینامیکی همین روبات را با اضافه کردن چهار میله که به انتهای آنها جرمی اضافه شده بود، انجام دادند. همچنین درسیگ و دین [26] طراحی و بهینه سازی همین روبات را با درنظر گرفتن دو شرط ایزو تروبی سینماتیکی و بالانس استاتیکی آن انجام داده اند. یکی دیگر از روش های مورد استفاده که برای بالانس کامل دینامیکی نیروها و گشتاورهای لرزشی مکانیزم های صفحه ای به کار گرفته شده است، استفاده از یک جسم صلب متحرک است [27]. بالانس کامل دینامیکی نیروها و گشتاورهای لرزشی یک روبات موازی صفحه که قابلیت دوران نامحدود حول محور عمود بر صفحه را دارد نیز با استفاده از افزودن جرم های اضافه به مکانیزم انجام شده است [28]. حداقل سازی نیروها و گشتاورهای لرزشی دینامیکی مکانیزم های صفحه ای حلقه بسته با استفاده از بهینه سازی شکل لینک های مکانیزم نیز در مرجع [29] انجام شده است. بهینه سازی شکل لینک های این مکانیزم توسط نقاط کنترلی منحنی های

هستند و هیچ جرم اضافه ای یا چرخش معکوس اضافه ای به سیستم اضافه نمی کنند و شرایط بالانس بر طبق ثابت ماندن مومنتوم خطی و زاویه ای روبات را به دست آورده اند [12].

اگرچه مقالات مختلفی پس از آن نیز منتشر شده است، اما در مجموع حجم متون مربوط به این حوزه قابل توجه نیست. علاوه بر این، بسیاری از مقالات به بررسی بالانس روبات های چند درجه آزادی با استفاده از راه حل های تعادل برای مکانیزم ها پرداخته اند که معاایب قابل توجهی مانند افروden جرم اضافی و اینرسی اضافی دارند [17-19]. اینرسی بیشتر باعث می شود که توان بیشتری برای حرکت محرک ها مورد نیاز باشد و جرم بیشتر به معنی نیاز داشتن توان بیشتر برای بالا بردن و کنترل مجری نهایی در فضای کاری است. ویجک و هردر [20] در مقاله ای به مرور، مقایسه و ارزیابی تعدادی از روش ها که جرم و اینرسی چرخشی معکوس به روبات اضافه می کنند، پرداخته اند و یک شاخص نرمال شده برای قضاوت در مورد انواع روش های ارائه شده معرفی کرده اند. به تازگی راه حل های بالانس که استفاده از ساختار موازی روبات ها را دربر می گیرد، نشان داده است که روش کارآمدی است. ویجک و هردر [9] با استفاده از روش فیشر به بیان روش هایی برای به دست آوردن مرکز جرم یک مکانیسم در یک نقطه تغییرناپذیر بر روی یکی از لینک ها پرداختند. با استفاده از این روش مکانیزم را بدون اضافه کردن جرم چرخشی معکوس و با اضافه کردن ساختارهایی به ساختار اولیه مکانیزم بالانس کرده اند.

آرaklıلیان و همکاران [21] به بیان روشی بر مبنای روش های کنترلی پرداختند. آنها چند مسیر مختلف برای حرکت موردنظر مجری نهایی در نظر گرفتند و مسیری که پتانسیل کمتری دارد را انتخاب کرده و با طراحی کنترلر، روبات را از مسیر بهینه حرکت دادند، به صورتی که کمترین نیرو و مومنتوم لرزشی به پایه

با ساختار مشابه به یکدیگر متصل شده‌اند. همچنین یک پایه ثابت که در انتهای آن یک مفصل کروی درنظر گرفته شده است به‌طور مستقیم به صفحه متحرک به یکدیگر متصل شده است. مانند ساختار اکثر روبات‌های موازی این زنجیره‌های سینماتیک با ساختارهای گوناگون اما یکسان و تکرارپذیر با تعداد مختلف با یکدیگر ترکیب می‌شوند و باعث به وجود آمدن سیستم‌های گوناگون در طراحی روبات‌های موازی می‌شوند. در روبات کروی موازی موردنظر سه شاخه سینماتیکی با ساختارهای یکسان وجود دارد. در هر زنجیره سینماتیکی به ترتیب یک مفصل محرك چرخشی، یک مفصل کشویی، یک مفصل کروی و یک مفصل کشویی درنظر گرفته شده است.

در شکل (۱) روبات موازی کروی RPSP-S<sup>3</sup> با حرکت‌های زاویه‌ای نشان داده شده است. همچنین یکی از زنجیره‌های سینماتیکی این روبات نیز به صورت برداری در شکل (۲) نشان داده شده است. در این روبات بردار  $\mathbf{h}$  نشان‌دهنده طول و راستای ستون وسط روبات،  $\mathbf{v}_i$  بردار یکه روی صفحه متحرک (که برای نشان دادن جهت و راستای هر یک از مفاصل لغزشی صفحه متحرک به کار برده می‌شود)،  $\mathbf{u}_i$  بیانگر بردار یکه نشان‌دهنده راستای دوران مفصل چرخشی متصل به پایه روبات،  $\mathbf{e}_i$  بردار یکه نشان‌دهنده راستای بازوی متحرک اتصال دهنده دو صفحه ثابت و متحرک،  $b_i$  بیانگر مقدار عددی فاصله میان اتصال کروی مرکزی تا انتهای هر یک از مفاصل لغزشی روی صفحه متحرک،  $a_i$  نشان‌دهنده مقدار عددی فاصله میان اتصال مفصل چرخشی تا ستون وسط روبات،  $l_i$  برابر با طول هر شاخه روبات و  $\theta_i$  بیانگر مقدار چرخش مفصل چرخشی محرك هستند.

بی - اسپیلانین صورت پذیرفته است. بالانس دینامیکی یک روبات افزونه صفحه‌ای موازی با ساختار RRR-4 به صورت تحلیلی و آزمایشگاهی در مراجع [30, 31] مورد بررسی قرار گرفته است. همچنین بالانس دینامیکی برای حداقل‌سازی نیروهای لرزشی دینامیکی به پایه روبات سه درجه آزادی موازی دلتا با اضافه کردن سه جرم متعادل‌کننده و استفاده از دو لینک اضافی انجام شده است. [32]

در روبات‌هایی که قید رفت‌ویرگشتی دارند، حذف نیروهای اینرسی منتقل شده به پایه روبات یک چالش اساسی برای این گونه روبات‌ها محسوب می‌شود. در روبات موردنظر اگر بخواهیم از روش معمول افزودن وزنه استفاده کنیم به دلیل وجود قید رفت‌ویرگشتی باید وزنه‌ای را اضافه کنیم که به تناسب حرکت رفت‌ویرگشتی قید مربوط، حرکت کند که کار بسیار دشواری می‌باشد و اگر بخواهیم هم‌زمان بالانس گشتاور لرزشی را نیز انجام بدیم این روش صحیح نیست، بنابراین ما ابتدا یک مکانیزم اضافه را به پایه روبات اضافه می‌کنیم که مشکل قید رفت و برگشتی و ظاهر شدن ترم‌های سرعت و شتاب‌های شعاعی در نیروهای لرزشی را رفع می‌کند، سپس از روش افزودن وزنه برای بالانس روبات استفاده می‌کنیم. در انتها با استفاده از نرم‌افزار آدامز نتایج بررسی می‌شود و مشاهده می‌گردد که با استفاده از روش ارائه شده نیروهای لرزشی منتقل شونده به پایه روبات به‌طور میانگین در راستای  $x$  ۹۸ درصد، در راستای  $y$  ۷۹ درصد و در راستای  $z$  ۹۹ درصد کاهش خواهد یافت؛ البته با این روش جرم ربات نسبت به حالت اولیه زیادتر می‌شود.

### 3(RPSP)-S معرفی روبات کروی

در روبات موازی کروی جدید RPSP-S<sup>3</sup> صفحه ثابت و صفحه متحرک از طریق سه زنجیره سینماتیکی

می شود. دستگاه مختصات متحرک  $\{M\}$  که به صفحه متحرک متصل شده است و مبدأ آن در مرکز صفحه متحرک (مفصل کروی پایه ثابت) قرار گرفته است. محور  $x_M$  این دستگاه در راستای بردار یکه  $\mathbf{v}_1$  و محور  $z_M$  آن در راستای  $\mathbf{v}_i \times \mathbf{v}_{i+1}$  در نظر گرفته شده اند و محور  $y_M$  لا آن نیز می تواند با قانون دست راست تعیین شود. برای ارتباط این دو دستگاه با یکدیگر، از ماتریس دورانی که بر حسب زوایای اوبلر ثابت XYZ ماتریس دورانی که بر حسب زوایای اوبلر ثابت  $\{M\}$  استفاده می گردد. بنابراین این ماتریس را می توان به صورت زیر نمایش داد:

$$\begin{aligned} {}^B \mathbf{R} = & \mathbf{R}_z(\varphi_z) \mathbf{R}_y(\varphi_y) \mathbf{R}_x(\varphi_x) = \\ & \begin{bmatrix} c\varphi_z c\varphi_y & c\varphi_z s\varphi_y s\varphi_x - s\varphi_z c\varphi_x & c\varphi_z s\varphi_y c\varphi_x + s\varphi_z s\varphi_x \\ s\varphi_z c\varphi_y & s\varphi_z s\varphi_y s\varphi_x + c\varphi_z c\varphi_x & s\varphi_z s\varphi_y c\varphi_x - c\varphi_z s\varphi_x \\ -s\varphi_y & c\varphi_y s\varphi_x & c\varphi_y c\varphi_x \end{bmatrix} \quad (1) \end{aligned}$$

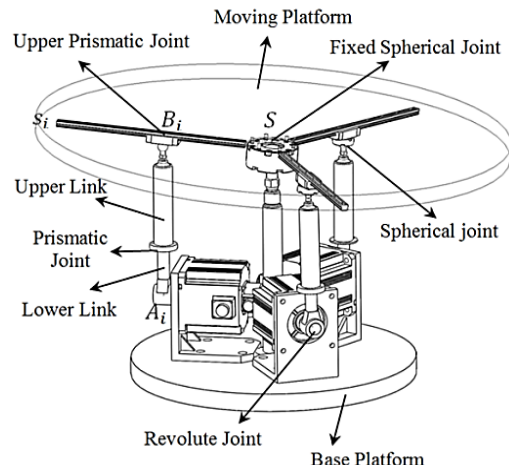
سینماتیک معکوس شامل محاسبه مقادیر متغیرهای حرکت برای جهت گیری معلوم صفحه متحرک نسبت به صفحه ثابت است. برای روبات موازی کروی به صفحه 3(RPSP)-S که دارای سه زنجیره سینماتیکی است، برای هر زنجیره سینماتیکی می توان نوشت:

$$\mathbf{h} + b_i \mathbf{v}_i = a_i \mathbf{u}_i + l_i \mathbf{e}_i \quad (2)$$

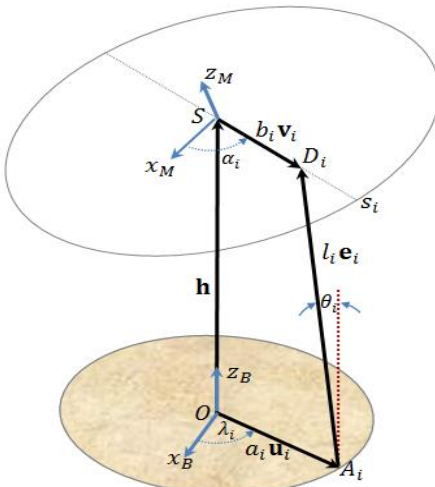
باتوجه به این که مقادیر بردار  $\mathbf{v}_i$  در دستگاه  $\{M\}$  معلوم است، به کمک ماتریس دوران  ${}^B \mathbf{R}$  می توان بردار  $\mathbf{v}_i$  را در دستگاه  $\{B\}$  توصیف کرد. بنابراین می توان رابطه (۳) را به صورت زیر بازنویسی کرد:

$$\mathbf{h} + b_i {}^B \mathbf{R}^M \mathbf{v}_i = a_i \mathbf{u}_i + l_i \mathbf{e}_i \quad (3)$$

$$\mathbf{u}_i = [\cos \lambda_i \quad \sin \lambda_i \quad 0]^T \quad (4)$$



شکل ۱ روبات 3(RPSP)-S با محور زاویه ای



شکل ۲ مشخصات هندسی و پارامترهای یک شاخه روبات 3(RPSP)-S

### سینماتیک معکوس روبات 3(RPSP)-S

قبل از انجام تحلیل سینماتیک معکوس روبات، لازم است دستگاه های مختصات به کار گرفته شده معرفی شوند. در تحلیل این روبات از دو سیستم دستگاه مختصات استفاده شده است. دستگاه مختصات ثابت  $\{B\}$  که متصل به پایه ثابت روبات است و مبدأ آن در مرکز صفحه ثابت در نظر گرفته شده است. محور  $x_B$  این دستگاه در راستای بردار یکه  $\mathbf{u}_1$  و محور  $z_B$  آن در راستای  $\mathbf{u}_i \times \mathbf{u}_{i+1}$  در نظر گرفته شده است و محور  $y_B$  آن نیز با استفاده از قانون دست راست تعیین

$$\begin{aligned}\mathbf{e}_i = \mathbf{R}(\mathbf{u}_i, \theta_i)\mathbf{k} &= \cos\theta_i \mathbf{k} \\ &\quad + (1 - \cos\theta_i)\mathbf{u}_i \mathbf{u}_i^T \mathbf{k} \\ &\quad + \sin\theta_i (\mathbf{u}_i \times \mathbf{k})\end{aligned}\quad (11)$$

از آنجایی که بردار یکه  $\mathbf{k}$  عمود بر بردارهای یکه  $\mathbf{u}_i$  است، می‌توان نوشت:

$$\begin{aligned}\mathbf{e}_i &= \cos\theta_i \mathbf{k} + \sin\theta_i (\mathbf{u}_i \times \mathbf{k}) \\ &= [u_{iy} \sin\theta_i \quad -u_{ix} \sin\theta_i \quad \cos\theta_i]^T\end{aligned}\quad (12)$$

بنابراین مقدار دوران هر موتور را می‌توان به صورت زیر محاسبه کرد:

$$\theta_i = \text{Atan2}\left(-\frac{e_{iy}}{u_{ix}}, e_{iz}\right) \text{ for } i = 1, 2, 3 \quad (13)$$

در این مقاله، مقدار دوران موتورها با استفاده از حل مسئله سینماتیک برای مسیر داده شده برحسب زمان به دست می‌آید و سپس برای محاسبه نیروهای لرزشی به عنوان ورودی مفاصل محرک در نرم‌افزار مورد استفاده قرار می‌گیرد. ADAMS

که در آنها زاویه  $\lambda_i$  بیانگر زاویه بین بردارهای یکه  $\mathbf{u}_i$  و محور  $x_B$  است. همچنین بردارهای  ${}^M\mathbf{v}_i$  را می‌توان به صورت زیر نوشت:

$${}^M\mathbf{v}_i = [\cos\alpha_i \quad \sin\alpha_i \quad 0]^T \quad (5)$$

که در آن  $\alpha_i$  بیانگر زاویه بین بردارهای یکه  $\mathbf{v}_i$  و محور  $x_M$  است. از آنجاکه در تحلیل بالا نیروی محاسبه مقدار طول هر شاخه لازم است، برای یافتن مقادیر  $l_i$  ابتدا باید مقادیر  $b_i$  به دست آورده شود؛ بنابراین با ضرب طرفین رابطه (4) در  $\mathbf{u}_i^T$  می‌توان نوشت:

$$\mathbf{u}_i^T \mathbf{h} + b_i \mathbf{u}_i^T {}^B\mathbf{R} {}^M\mathbf{v}_i = a_i \mathbf{u}_i^T \mathbf{u}_i + l_i \mathbf{u}_i^T \mathbf{e}_i \quad (6)$$

از طرفی باتوجه به ساختار روبات و باتوجه به شکل (2) می‌توان نوشت:

$$\mathbf{u}_i^T \mathbf{h} = 0, \quad \mathbf{u}_i^T \mathbf{u}_i = 1, \quad \mathbf{u}_i^T \mathbf{e}_i = 0 \quad (7)$$

با جایگذاری روابط فوق در رابطه (4) مقدار  $b_i$  به صورت زیر به دست می‌آید:

$$b_i = a_i / \mathbf{u}_i^T {}^B\mathbf{R} {}^M\mathbf{v}_i \quad (8)$$

با معلوم شدن  $b_i$  می‌توان  $l_i$  را به صورت ذیل محاسبه کرد:

$$l_i = \|l_i \mathbf{e}_i\| = \|\mathbf{h} + b_i {}^B\mathbf{R} {}^M\mathbf{v}_i - a_i \mathbf{u}_i\| \quad (9)$$

با محاسبه  $l_i$  بردار یکه  $\mathbf{e}_i$  را می‌توان به صورت زیر نوشت:

$$\mathbf{e}_i = (\mathbf{h} + b_i {}^B\mathbf{R} {}^M\mathbf{v}_i - a_i \mathbf{u}_i) / l_i \quad (10)$$

با استفاده از فرمول رودریگرز [33] داریم:

### بالانس نیرویی روبات کروی-S<sub>3</sub>(RPSP)-S

از آنجاکه صفحه متحرک حول یک مفصل کروی دوران می‌کند، بنابراین در صورتی که مرکز جرم آن بر مرکز مفصل کروی نیز منطبق نباشد، به آسانی می‌توان با اضافه کردن جرم نامیزان در طرف دیگر نیروی لرزشی ناشی از آن را به حداقل رسانید. بنابراین در این روبات، ارائه روشی برای بالانس شاخه‌های روبات که دارای لینک‌های دورانی و لغزشی است، از اهمیت برخوردار است. برای این منظور پارامترهای جرمی روبات را قبل از بالانس نیرویی مطابق شکل (3) در نظر می‌گیریم. مدل جرمی لینک‌ها برای بالانس نیرویی روبات، به صورت جرم متمرکز درنظر گرفته شده است. در این شکل جرم لینک دورانی ( $m_{E_i}$ ) در نقطه  $E_i$  و جرم لینک لغزنده ( $m_{Q_i}$ ) در نقطه  $Q_i$  فرض شده است.

اکنون می‌توانیم نیروی لرزشی اعمالی به پایه هر شاخه روبات که ناشی از اینرسی لینک‌ها است، به صورت زیر نوشت:

$$\mathbf{F}_i = m_{Q_i} \ddot{\mathbf{d}}_{Q_i} + m_{E_i} \ddot{\mathbf{d}}_{E_i} \quad (14)$$

که به آسانی می‌توان گفت که ترم شتاب کوریولیس در  $\ddot{\mathbf{d}}_{Q_i}$  مستتر است؛ بنابراین چنان‌چه خواسته باشیم از روش معمول اضافه کردن وزنه برای بالанс نیرویی استفاده کنیم، امکان پیچیده شدن بالанс روبات وجود دارد. به همین دلیل دو لینک کمکی به هر شاخه روبات به‌گونه‌ای اضافه می‌کنیم که بتواند باعث حذف نیروهای اینرسی ناشی از شتاب کوریولیس شود.

در شکل (۴) لینک‌های کمکی اضافه شده  $A_i D_i$  و  $A_i C_i$  به هر شاخه روبات نشان داده شده است. جرم  $D_i C_i$  لینک  $A_i D_i$  برابر با  $m_{H_i}$  و جرم لینک  $D_i C_i$  نیز برابر با  $m_{K_i}$  و به صورت متمرکز به ترتیب در نقاط  $H_i$  و  $K_i$  درنظر گرفته شده‌اند. برای بالанс جرمی هر شاخه نیز سه وزنه بالانسی  $m_{N_i}$ ،  $m_{P_i}$  و  $m_{F_i}$  به ترتیب در نقاط  $N_i$  و  $P_i$  درنظر گرفته شده است.

بنابراین نیروی لرزشی وارد به پایه هر شاخه روبات را می‌توان به صورت زیر نوشت:

$$\mathbf{F}_i = m_{H_i} \ddot{\mathbf{d}}_{H_i} + m_{P_i} \ddot{\mathbf{d}}_{P_i} + m_{K_i} \ddot{\mathbf{d}}_{K_i} + m_{N_i} \ddot{\mathbf{d}}_{N_i} + m_{Q_i} \ddot{\mathbf{d}}_{Q_i} + m_{E_i} \ddot{\mathbf{d}}_{E_i} + m_{F_i} \ddot{\mathbf{d}}_{F_i} \quad (15)$$

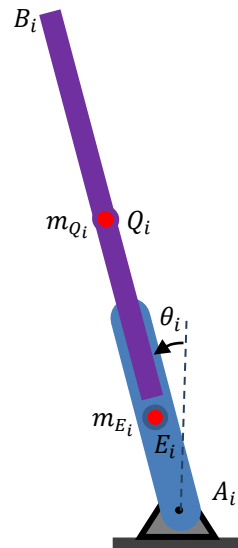
که در آن به ترتیب شتاب جرم‌های  $m_{H_i}$ ،  $m_{K_i}$ ،  $m_{N_i}$ ،  $m_{P_i}$ ،  $m_{F_i}$  و  $m_{E_i}$  هستند که به صورت زیر تعریف می‌شوند:

$$\ddot{\mathbf{d}}_{H_i} = r_{H_i} \ddot{\mathbf{d}}_{D_i} \quad (16)$$

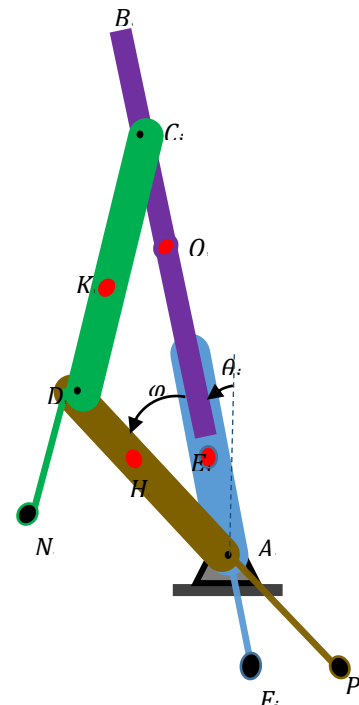
$$\ddot{\mathbf{d}}_{P_i} = r_{P_i} \ddot{\mathbf{d}}_{D_i} \quad (17)$$

$$\ddot{\mathbf{d}}_{K_i} = \ddot{\mathbf{d}}_{D_i} + \ddot{\mathbf{d}}_{K_i/D_i} = \ddot{\mathbf{d}}_{D_i} + r_{K_i} \ddot{\mathbf{d}}_{C_i/D_i} \quad (18)$$

در شکل (۳) یک پایه روبات قبل از بالанс نشان داده شده است.



شکل ۳ پارامترهای جرمی یک شاخه روبات قبل از بالанс نیرویی روبات



شکل ۴ لینک‌های کمکی اضافه شده و پارامترهای جرمی یک شاخه روبات برای بالанс نیرویی روبات

پارامترهای جرمی و ابعادی مربوط به لینک‌های اضافه شده را می‌توان به دلخواه و یا براساس محدودیت‌های طراحی انتخاب کرد.

### مطالعه موردنی

در این قسمت برای بررسی صحت بالانس دینامیکی و حداقل‌سازی نیروی لرزشی، براساس مشخصات هندسی، ابعادی و جرمی روبات و با استفاده از روابط پیش‌گفته، جرم وزنه‌های بالانس را به دست می‌آوریم و سپس با استفاده از آنها صفحه متحرک را در یک مسیر دلخواه نسبت به زمان حرکت می‌دهیم. آن‌گاه با استفاده از حل مسئله سینماتیک معکوس، مقدار تغییرات محرک‌ها را بر حسب زمان به دست می‌آوریم و از آنها به عنوان ورودی مدل ایجاد شده در نرم‌افزار ADAMS بهره می‌گیریم. در پایان، نیروهای تکیه‌گاهی را برای این حرکت در دو حالت بدون مکانیزم بالانس و با مکانیزم بالانس مورد بررسی قرار می‌دهیم و نتایج را با یکدیگر مقایسه می‌کنیم.

الف) پارامترهای هندسی، ابعادی و جرمی روبات برای

$$i = 1, 2, 3$$

$$\alpha_i = \lambda_i = \frac{2(i-1)\pi}{3} rad$$

$$a_i = 0.303 m$$

$$h = 0.215 m$$

$$A_i E_i = 0.1 m$$

$$B_i = 0.12 m$$

$$m_p = 10 kg$$

$$m_{Q_i} = 1.2 kg$$

$$m_{E_i} = 2.25 kg$$

ب) پارامترهای ابعادی و جرمی لینک‌های اضافه شده

$$i = 1, 2, 3$$

$$A_i D_i = D_i C_i = 0.25 m$$

$$m_{H_i} = 3.27 kg$$

$$m_{K_i} = 3.3 kg$$

$$r_{H_i} = r_{K_i} = 0.5$$

$$r_{P_i} = r_{F_i} = -0.5$$

$$r_{N_i} = -1$$

$$r_{Q_i} = 0$$

$$\ddot{\mathbf{d}}_{N_i} = \ddot{\mathbf{d}}_{D_i} + \ddot{\mathbf{d}}_{N_i/D_i} = \ddot{\mathbf{d}}_{D_i} + r_{N_i} \ddot{\mathbf{d}}_{C_i/D_i} \quad (19)$$

$$\begin{aligned} \ddot{\mathbf{d}}_{Q_i} &= \ddot{\mathbf{d}}_{D_i} + \ddot{\mathbf{d}}_{C_i/D_i} + \ddot{\mathbf{d}}_{Q_i/C_i} \\ &= \ddot{\mathbf{d}}_{D_i} + \ddot{\mathbf{d}}_{C_i/D_i} + r_{Q_i} \ddot{\mathbf{d}}_{E_i} \end{aligned} \quad (20)$$

$$\ddot{\mathbf{d}}_{F_i} = r_{F_i} \ddot{\mathbf{d}}_{E_i} \quad (21)$$

در روابط فوق پارامترهای بی بعد ضرایب شتاب نیز به صورت زیر تعریف می‌شوند:

$$r_{H_i} = \|\mathbf{d}_{A_i H_i}\| / \|\mathbf{d}_{A_i D_i}\| \quad (22)$$

$$r_{P_i} = -\|\mathbf{d}_{A_i P_i}\| / \|\mathbf{d}_{A_i D_i}\| \quad (23)$$

$$r_{K_i} = \|\mathbf{d}_{D_i K_i}\| / \|\mathbf{d}_{D_i C_i}\| \quad (24)$$

$$r_{N_i} = -\|\mathbf{d}_{D_i N_i}\| / \|\mathbf{d}_{D_i C_i}\| \quad (25)$$

$$r_{Q_i} = -\|\mathbf{d}_{C_i Q_i}\| / \|\mathbf{d}_{A_i E_i}\| \quad (26)$$

$$r_{F_i} = -\|\mathbf{d}_{A_i F_i}\| / \|\mathbf{d}_{A_i E_i}\| \quad (27)$$

با جای‌گذاری روابط (۱۶-۲۷) در معادله (۱۵) و ساده‌سازی آن می‌توان نوشت:

$$\begin{aligned} \mathbf{F}_i = & \left( m_{H_i} r_{H_i} + m_{P_i} r_{P_i} + m_{K_i} + m_{N_i} + m_{Q_i} \right) \ddot{\mathbf{d}}_{D_i} \\ & + \left( m_{K_i} r_{K_i} + m_{N_i} r_{N_i} + m_{Q_i} \right) \ddot{\mathbf{d}}_{C_i/D_i} \\ & + \left( m_{Q_i} r_{Q_i} + m_{E_i} + m_{F_i} r_{F_i} \right) \ddot{\mathbf{d}}_{E_i} \end{aligned} \quad (28)$$

همان‌طور که ملاحظه می‌شود، در معادله فوق ترمی که شامل شتاب کوریولیس باشد، وجود ندارد. بنابراین برای حداقل‌سازی نیروی لرزشی و بالانس نیروی مکانیزم باید روابط زیر برقرار باشد:

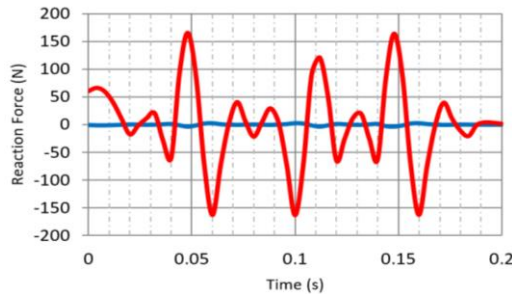
$$m_{F_i} = -(m_{Q_i} r_{Q_i} + m_{E_i}) / r_{F_i} \quad (29)$$

$$m_{N_i} = -(m_{K_i} r_{K_i} + m_{Q_i}) / r_{N_i} \quad (30)$$

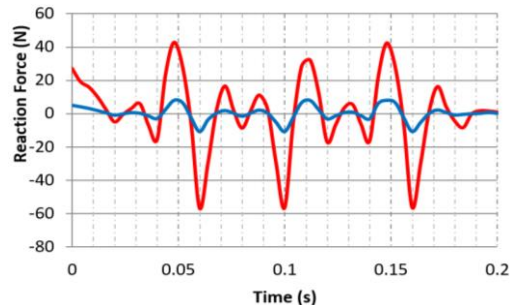
$$\begin{aligned} m_{P_i} = & \left( m_{K_i} r_{K_i} + (1 - r_{N_i}) m_{Q_i} \right) / (r_{P_i} r_{N_i}) \\ & - \left( m_{H_i} r_{H_i} + m_{K_i} \right) / r_{P_i} \end{aligned} \quad (31)$$

در معادلات فوق تعدادی از پارامترها که مربوط به شاخه روبات است، ثابت هستند و تعداد دیگری از

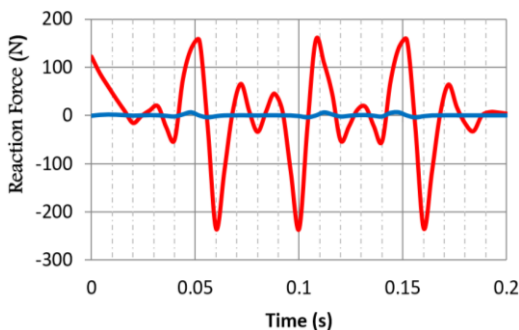
مختلف آورده شده است. همچنین در این جدول‌ها درصد کاهش نیروهای تکیه‌گاهی نیز آورده شده است. این نتایج نشان می‌دهد که نیروهای لرزشی منتقل شده به پایه روبات به طور میانگین در راستای  $x$  ۹۸ درصد، در راستای  $y$  ۷۹ درصد و در راستای  $z$  ۹۹.۴٪ درصد کاهش یافته است.



شکل ۵ نیروی لرزشی کل وارد به روبات پیش و پس از بالанс در راستای  $X$  (نمودار قرمز پیش از بالанс و نمودار آبی پس از بالанс را نشان می‌دهد)



شکل ۶ نیروی لرزشی کل وارد به روبات پیش و پس از بالанс در راستای  $Y$  (نمودار قرمز پیش از بالанс و نمودار آبی پس از بالанс را نشان می‌دهد)



شکل ۷ نیروی لرزشی کل وارد به روبات پیش و پس از بالанс در راستای  $Z$  (نمودار قرمز پیش از بالанс و نمودار آبی پس از بالанс را نشان می‌دهد)

ج) محاسبه جرم وزنهای بالанс.

با استفاده از روابط پیش‌گفته جرم‌های بالانسی به صورت زیر به دست می‌آیند:

$$m_{P_i} = 17.61 \text{ kg}, m_{N_i} = 2.76 \text{ kg}, m_{F_i} = 4.5 \text{ kg}$$

د) حرکت رول ( $\varphi_x$ ), پیچ ( $\varphi_y$ ) و یا و ( $\varphi_z$ ) صفحه متحرک.

برای شبیه‌سازی حرکت، فرض می‌کنیم که تغییرات حرکت رول، پیچ و یا و صفحه متحرک نسبت به زمان بر حسب رادیان به صورت زیر باشد:

$$\varphi_x = \sin\left(\frac{2\pi t}{T}\right)$$

$$\varphi_y = 0$$

$$\varphi_z = \frac{\pi}{6} \sin\left(\frac{0.125\pi t}{T}\right)$$

که در آن  $2\pi = T$  در نظر گرفته شده است.

ه) شبیه‌سازی دینامیکی.

ابتدا با حل مسئله سینماتیک معکوس براساس پارامترهای هندسی و ابعادی داده شده روبات، تغییرات مفاصل محرك روبات را بر حسب زمان به دست می‌آوریم. سپس آنها را به عنوان ورودی برای دو مدل ساخته شده در نرم افزار ADAMS به کار می‌گیریم. یکی از مدل‌ها، مدل اصلی روبات است و در مدل دیگر لینک‌های اضافه شده با جرم‌های بالانسی نیز مدل شده است. برای هر کدام از دو مدل نیروهای اعمالی به پایه روبات از طرف هر سه شاخه روبات در جهت‌های مختلف به دست آورده شده است. این نیروها در شکل‌های (۵-۷) به ترتیب در راستای محور  $x$  و  $y$  و  $z$  برای حالت‌های قبل از بالанс و پس از بالанс نشان داده شده است. همان‌طور که مشاهده می‌شود نیروهای اعمالی به پایه روبات به صورت قابل ملاحظه‌ای کاهش یافته است. برای مقایسه بهتر، مقادیر نیروهای تکیه‌گاهی در دستگاه ثابت  $\{B\}$  در زمان‌های مختلف برای هر دو مدل در جدول‌های (۱-۳) در جهت‌های

## نتایج

در این مقاله بالانس نیرویی روبات موزایی کروی با ساختار RPSP-S<sub>3</sub> با استفاده از روش افزودن مکانیزم اضافه بررسی شد. حذف نیروهای اینرسی منتقل شده به پایه روبات یک چالش اساسی برای این گونه روبات‌ها محسوب می‌شود. در روبات موردنظر به دلیل استفاده از مفاصل لغزشی و وجود قید رفت‌وبرگشتی، از روش معمول افزودن وزنه استفاده نشد بلکه از یک مکانیزم اضافه و اتصال آن به هر شاخه روبات به گونه‌ای استفاده شد که باعث حذف شتاب‌های کوریولیس و درنتیجه حذف نیروهای لرزشی ناشی از رفت‌وبرگشت جرم لغزندۀ در معادلات بالانس نیرویی روبات شد. سپس با افزودن سه وزنه به مکانیزم اضافه شده و هر شاخه روبات، بالانس نیرویی روبات انجام گردید. سپس با حل مسئله سینماتیک معکوس براساس پارامترهای هندسی و ابعادی داده شده روبات، تغییرات مفاصل محرک روبات را بر حسب زمان به دست آمد و آنها به عنوان ورودی برای دو مدل ساخته شده در نرم افزار آدامز به کار گرفته شد و نشان داده شد که با استفاده از روش ارائه شده، نیروهای لرزشی منتقل شده به پایه روبات به طور میانگین در راستای x ۹۸ درصد، در راستای y ۷۹ درصد و در راستای z ۹۹.۴ درصد کاهش یافته است. لازم به ذکر است که می‌توان از این روش برای هر روبات دیگری که قید رفت‌وبرگشتی داشته باشد، استفاده کرد و همچنین می‌توان به عنوان کارهای آینده یک روش بهینه‌سازی روی این روش پیاده کرد که نسبت افزایش جرم و کاهش نیروی لرزشی به صرفه باشد.

جدول ۱ مقایسه نیروهای لرزشی پیش و پس از بالانس

در راستای محور X

زمان	نیروی لرزشی قبل از بالانس	نیروی لرزشی بعد از بالانس	درصد کاهش
۰	۶۰.۶۵۹۷	-۰.۶۳۵۹	۹۸.۹۵۱۷
۰.۰۵۲	۸۸.۷۶۸۱	-۱.۲۸۶۷	۹۸.۵۵۰۵
۰.۱	-۱۶۳.۰۵۳	۲.۴۵۱۵	۹۸.۴۹۶۵
۰.۱۰۲	۸۹.۱۴۴۶	-۱.۳۲۴۱	۹۸.۰۱۴۷
۰.۲	۱۸۹۵۶	-۰.۰۳۲	۹۸.۳۱۱۹

جدول ۲ مقایسه نیروهای لرزشی پیش و پس از بالانس

در راستای محور Y

زمان	نیروی لرزشی قبل از بالانس	نیروی لرزشی بعد از بالانس	درصد کاهش
۰	۲۷.۱۸۴۸	۰.۰۲۴۴	۸۱.۵۱۷۶
۰.۰۵۲	۲۸.۲۴۹۷	۶.۵۶۴	۷۶.۷۶۴۴
۰.۱	-۵۶.۰۵۰۸۷	-۱۰.۷۶۰۳	۸۰.۹۵۸۲
۰.۱۰۲	۲۸.۲۴۰۴	۶.۶۴۹۲	۷۶.۴۰۵
۰.۲	۰.۹۸۷۵	۰.۱۶۷۹	۸۲.۹۹۷۵

جدول ۳ مقایسه نیروهای لرزشی پیش و پس از بالانس

در راستای محور Z

زمان	نیروی لرزشی قبل از بالانس	نیروی لرزشی بعد از بالانس	درصد کاهش
۰	۱۲۱.۸۹۸۶	-۰.۹۴۴۳	۹۹.۲۲۵۶
۰.۰۵۲	۱۵۵.۲۳۲۲	-۰.۴۷۳	۹۹.۷۹۵۳
۰.۱	-۲۲۵.۹۳۶	-۱.۶۱۳۷	۹۹.۳۱۶
۰.۱۰۲	۱۵۶.۲۱۱۵	-۰.۳۹۴	۹۹.۷۴۷۸
۰.۲	۳.۴۴۹۹	۰.۰۱۹۷	۹۹.۴۲۹

## مراجع

- MacCallion, H., Pham, D. T., "The analysis of a six-degree-of-freedom workstation for mechanized assembly", *Proceeding of the 5th World Congress on Theory of Machines and Mechanisms*, Montreal, Canada, July 8-13, (1979).

2. Hunt, K.H., "Structural Kinematics In-Parallel-Actuated Robot Arms", *Journal of Mechanism, Transmissions, and Automation in Design*, Vol. 105, pp. 705-712, (1983).
3. Briot, S., Arakelian, V.G. and Le Baron, J.P., "Shaking force minimization of high-speed robots via centre of mass acceleration control", *Mechanism and Machine Theory*, Vol. 57, pp. 1-12, (2012).
4. Arakelian, V.G. and Smith, M.R., "Shaking force and shaking moment balancing of mechanisms: a historical review with new examples", *Mechanical Design*, Vol. 127, pp. 334-339, (2005).
5. Arakelian, V.H. and Smith, M.R., "Design of planar 3-DOF 3-RRR reactionless parallel manipulators", *Mechatronics*, Vol. 18, pp. 601-606, (2008).
6. Agrawal, S.K. and Fattah, A., "Reactionless space and ground robots: novel designs and concept studies", *Mechanism and Machine theory*, Vol. 39, pp. 25-40, (2004).
7. Gosselin, C.M. and Laliberté, T., "Static balancing of spatial parallel platform mechanisms—revisited", *ASME Journal of Mechanical Design*, Vol. 122, pp. 43-51, (2000).
8. Chaudhary, K. and Chaudhary, H., "Dynamic balancing of planar mechanisms using genetic algorithm", *Journal of Mechanical Science and Technology*, Vol. 28, pp. 4213, (2014).
9. Van der Wijk, V. and Herder, J.L., "Synthesis method for linkages with center of mass at invariant link point—pantograph based mechanisms", *Mechanism and machine theory*, Vol. 48, pp. 15-28, (2012).
10. Alici, G. and Shirinzadeh, B., "Optimum force balancing with mass distribution and a single elastic element for a five-bar parallel manipulator", *Proceedings of ICRA'03. IEEE International Conference on Robotics and Automation*, Vol. 4, (2003).
11. Nehemiah, P., Rao, B.S.S. and Ramji, K., "Shaking force and shaking moment balancing of planar mechanisms with high degree of complexity", *Jordan Journal of Mechanical and Industrial Engineering*, Vol. 6, pp. 17-24, (2012).
12. Ricard, R. and Gosselin, C.M., "On the development of reactionless parallel manipulators", *Proceedings of the ASME Design Engineering Technical Conference and Computers and Information in Engineering Conference*, Baltimore, Maryland, US, September 10-14, (2000).
13. Papadopoulos, E. and Abu-Abed, A., "Design and motion planning for a zero-reaction manipulator", *Proceedings of IEEE International Conference on Robotics and Automation*, pp. 1554-1559, San Diego, USA, May 8-13, (1994).
14. Fattah, A. and Agrawal, S.K., "On the design of reactionless 3-DOF planar parallel mechanisms", *Mechanism and Machine theory*, Vol. 41, pp. 70-82, (2006).
15. Van der Wijk, V. and Herder, J.L., "Active dynamic balancing unit for controlled shaking force and shaking moment balancing", *ASME 2010 International Design Engineering Technical Conferences (IDETC) and Computers and Information in Engineering Conference (CIE)*, pp. 1515-1522, Montréal , Canada, August 15-18, (2010).
16. Arakelian, V. and Smith, M.R., "Shaking force and shaking moment balancing of mechanisms: a historical review with new examples", *ASME Journal of Mechanical Design*, Vol. 127, pp. 334-339, (2005).
17. Chung, W.K. and Cho, H.S., "On the dynamic characteristics of a balance PUMA-760 robot", *IEEE Transactions on Industrial Electronics*, Vol. 35, pp. 222-230, (1988).
18. Ebert-Uphoff, I. and Johnson, K., "Practical Considerations for the Use of Static Balancing for Parallel Kinematic Machines", *IMechE Journal of Multi-body Dynamics: Part K*, 216, pp. 73-85, (1997).

19. Russo, A., Sinatra, R. and Xi, F., "Static balancing of parallel robots", *Mechanism and Machine Theory*, Vol. 40, pp. 191-202, (2005).
20. Wijk, V. and Herder, J.L., "Guidelines for low mass and low inertia dynamic balancing of mechanisms and robotics", *Advances in Robotics Research: Theory, Implementation, Application*, Springer-Verlag Berlin Heidelberg, Berlin, (2009).
21. Briot, S., Arakelian, V., Sauvestre, N. and Baron, J.P., "Shaking forces minimization of high-speed robots via an optimal motion planning", *ROMANSY 18 Robot Design, Dynamics and Control*, Springer-Verlag Wien, (2010).
22. Briot, S. and Arakelian, V., "Complete shaking force and shaking moment balancing of in-line four-bar linkages by adding a class-two RRR or RRP Assur group", *Mechanism and Machine Theory*, Vol. 57, pp. 13-26, (2012).
23. Wu, Y. and Gosselin, C., "Design of reactionless 3-DOF and 6-DOF parallel manipulators using parallelepiped mechanisms", *IEEE Transactions on Robotics*, Vol. 21, pp. 821-833, (2005).
24. Alici, G. and Shirinzadeh, B., "Optimum force balancing of a planar parallel manipulator", *Proceedings of the Institution of Mechanical Engineers, Part C: Journal of Mechanical Engineering Science*, Vol. 217, pp. 515-524, (2003).
25. Alici, G. and Shirinzadeh, B., "Optimum synthesis of planar parallel manipulators based on kinematic isotropy and force balancing", *Robotica*, Vol. 22, pp. 97-108, (2004).
26. Dresig, H. and Dien, N.P., "Complete shaking force and shaking moment balancing of mechanisms using a moving rigid body", *Technische Mechanik*, Vol. 31, pp. 121-131, (2011).
27. Arakelian, V., Briot, S., Yatsun, S. and Yatsun, A., "A new 3-DoF planar parallel manipulator with unlimited rotation capability", *Proceedings of 13th World Congress in Robot and Machine Science*, Guanajuato, Mexico, June 19-23, (2011).
28. Chaudhary, K. and Chaudhary, H., "Optimal dynamic balancing and shape synthesis of links in planar mechanisms", *Mechanism and Machine Theory*, Vol. 93, pp. 127-146, (2015).
29. Van Der Wijk, V., Krut, S., Pierrot, F. and Herder, J., "Generic method for deriving the general shaking force balance conditions of parallel manipulators with application to a redundant planar 4-RRR parallel manipulator", *Proceedings of the 13th World Congress in Mechanism and Machine Science*, Guanajuato, Mexico, June 19-23, (2011).
30. Van Der Wijk, V., Krut, S., Pierrot, F. and Herder, J.L., "Design and experimental evaluation of a dynamically balanced redundant planar 4-RRR parallel manipulator", *The International Journal of Robotics Research*, Vol. 32, pp. 744-759, (2013).
31. Arakelian, V. and Briot, S., "Balancing of linkages and robot manipulators: advanced methods with illustrative examples", Springer International Publishing Switzerland, (2015).
32. Van der Wijk, V. and Herder, J.L., "Dynamic balancing of Clavel's Delta robot", Computational Kinematics. Springer, Berlin, Heidelberg, (2009).
33. Wampler, C.W., "On a rigid body subject to point-plane constraints", *Journal of Mechanical Design*, Vol. 128, pp. 151-158, (2006).